



# Benemérita Universidad Autónoma de Puebla

## Facultad de Ciencias Físico Matemáticas



### Decaimientos del Higgs con Violación del Sabor Leptónico y su automatización a un loop

arxiv: 2112.08412

<https://doi.org/10.1142/S0217751X22502268>

por  
Moises Zeleny Mora

#### Colaboradores

Dr. Justiniano Lorenzo Díaz Cruz

Dra. Olga Guadalupe Félix Beltrán

15 de marzo de 2023  
IF-UNAM

# Contenido

## 1 Preámbulo

- Antecedentes
- Relevancia

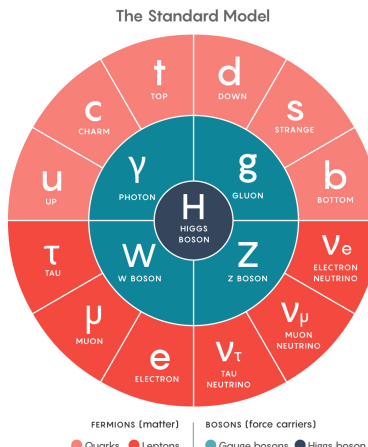
## 2 Metodología

- Fórmulas para el decaimiento  $H_r \rightarrow I_a^- I_b^+$
- Vértices Genéricos
- Diagramas genéricos
- Factores de forma para  $H_r \rightarrow I_a^- I_b^+$
- Código en Python
- Pasos a seguir en cada modelo

## 3 Modelo $\nu$ SM

## 4 Conclusiones

# Antecedentes



- En el SM, los procesos con Violación del Sabor Leptónico (LFV) están prohibidos.
- Oscilaciones de neutrinos (LFV)  
→ masas de neutrinos.
- ¿Dirac o Majorana?
- **Base de sabor:**  $\nu_e$ ,  $\nu_\mu$  y  $\nu_\tau$ , **Base de masas:**  $\nu_1$ ,  $\nu_2$ ,  $\nu_3$ , ...
- En la extensión mínima del SM (neutrinos de Dirac),  
$$\mathcal{BR}(\mu \rightarrow e\gamma) = \frac{3\alpha}{32\pi} \left| \sum_k U_{ek} U_{\mu k}^* \frac{m_{\nu_k}^2}{m_W^2} \right| \lesssim 10^{-54}.$$

# Datos de oscilaciones de neutrinos

Valores experimentales (jerarquía normal)<sup>1</sup>.

	bfp $\pm 1\sigma$	$3\sigma$
$\sin^2(\theta_{12})$	$0.310^{+0.013}_{-0.012}$	$0.275 - 0.350$
$\sin^2(\theta_{23})$	$0.582^{+0.015}_{-0.019}$	$0.428 - 0.624$
$\sin^2(\theta_{13})$	$0.02240^{+0.00065}_{-0.00066}$	$0.02244 - 0.02437$
$\frac{\Delta m_{21}^2}{10^{-5}\text{eV}^2}$	$7.39^{+0.021}_{-0.020}$	$6.79 - 8.01$
$\frac{\Delta m_{31}^2}{10^{-5}\text{eV}^2}$	$2.525^{+0.033}_{-0.031}$	$2.431 - 2.622$

Por otro lado, podemos reescribir las masas  $\nu_{2,3}$  como sigue

$$m_i = \sqrt{m_1^2 + \Delta m_{i1}^2}, \quad i = 2, 3. \quad (1)$$

El satélite Planck impone una cota superior sobre la suma de las masas de los neutrinos dada por<sup>2</sup>

$$\sum_{i=1}^3 m_i < 0.12 \text{ eV}. \quad (2)$$

<sup>1</sup>Ivan Esteban et al. Global analysis of three-flavour neutrino oscillations: synergies and tensions in the determination of  $\theta_{23}$ ,  $\delta_{CP}$ , and the mass ordering. JHEP, 01:106, 2019.

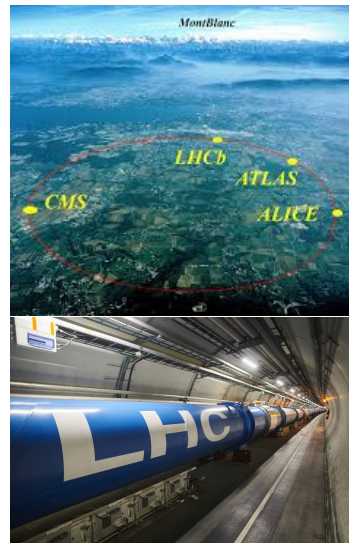
<sup>2</sup>N. Aghanim et al. Planck 2018 results. VI. Cosmological parameters. 2018

# Cotas experimentales

La colaboración ATLAS de LHC da las siguientes cotas superiores

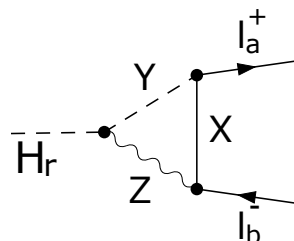
$$\mathcal{BR}(h \rightarrow e\tau) < 0.0047$$

$$\mathcal{BR}(h \rightarrow \mu\tau) < 0.0028$$



# Relevancia

- Búsqueda de nueva Física.
- Posible evidencia de nuevas partículas
- ¿El Higgs descubierto es el Higgs del SM?
- Restringir los parámetros del modelo



Canal	Razón de ramificación
$H \rightarrow \gamma\gamma$	$2.28 \times 10^{-3}$
$H \rightarrow ZZ$	$2.64 \times 10^{-2}$
$H \rightarrow W^+W^-$	$2.15 \times 10^{-1}$
$H \rightarrow \tau^+\tau^-$	$6.32 \times 10^{-2}$
$H \rightarrow b\bar{b}$	$5.77 \times 10^{-1}$
$H \rightarrow Z\gamma$	$1.54 \times 10^{-3}$
$H \rightarrow \mu^+\mu^-$	$2.19 \times 10^{-4}$

# Fórmulas para el decaimiento $H_r \rightarrow l_a^- l_b^+$

En general, las amplitudes para procesos del tipo  $S \rightarrow F_1 \overline{F}_2$ , donde  $S$  y  $F$  denotan escalar y fermión, respectivamente, tienen la forma:

$$i\mathcal{M} = -i\bar{u}(p_1)(A_L^r P_L + A_R^r P_R)v(p_2) \quad (3)$$

Además, en el caso particular de  $S = H_r$ ,  $F_1 = l_a^-$  y  $F_2 = l_b^+$ , el ancho de decaimiento está dado por<sup>3</sup>,

$$\begin{aligned} \Gamma(H_r \rightarrow l_a^- l_b^+) &= \frac{1}{8\pi m_r} \sqrt{\left[1 - \left(\frac{m_a^2 + m_b^2}{m_r}\right)^2\right] \left[1 - \left(\frac{m_a^2 - m_b^2}{m_r}\right)^2\right]} \\ &\times \left[(m_r^2 - m_a^2 - m_b^2)(|A_L^r|^2 + |A_R^r|^2) - 4m_a m_b \text{Re}(A_L^r A_R^{r*})\right] \end{aligned}$$

Las condiciones *on-shell* son  $p_k^2 = m_k^2$  y  $p_0^2 \equiv (p_1 + p_2)^2 = m_r^2$ .

---

<sup>3</sup>L. T. Hue et. al. Lepton flavor violating decays of Standard-Model-like Higgs in 3-3-1 model with neutral lepton. Nucl. Phys., B907:37–76, 2016.

# Vértices Genéricos

La siguiente estructura para los vértices que pueden participar:

$$\begin{aligned} G(H_r S^\pm S^\mp) &\rightarrow c_r^{S^\pm}, & G(H_r F^\pm F^\mp) &\rightarrow c_r^{F^\pm}, \\ G(H_r V_1^{\nu\pm} V_2^{\mu\mp}) &\rightarrow c_r^{V^\pm} g_{\mu\nu}, & G(H_r F_1^0 F_2^0) &\rightarrow c_{rL}^{F^0} P_L + c_{rR}^{F^0} P_R, \\ G(H_r S^+ V^-) &\rightarrow c_r^{S^+ V^-} (p_\mu^+ - p_\mu^r), & G(H_r S^- V^+) &\rightarrow c_r^{S^- V^+} (p_\mu^r - p_\mu^-). \end{aligned} \tag{4}$$

Para los Decaimientos del Higgs con Violación del sabor Leptónico (LFVHD), el acoplamiento  $G(H_r F_1^0 F_2^0)$  es muy importante, en general este está relacionado con la generación de masa del neutrino. Por otro lado, la interacción entre fermiones, con escalares cargados y bosones vectoriales están dados por:

$$G(F_1^0 F_2^\pm S^\mp) \rightarrow c_L^{S^\pm} P_L + c_R^{S^\pm} P_R, \tag{5a}$$

$$G(F_1^0 F_2^\pm V^{\mu\mp}) \rightarrow \gamma_\mu (c_L^{V^\pm} P_L + c_R^{V^\pm} P_R). \tag{5b}$$

## Diagramas con dos fermiones en el lazo

Debido a la interacción  $H_r F_1^0 F_2^0$ , tenemos dos posibles diagramas con dos neutrinos en el lazo

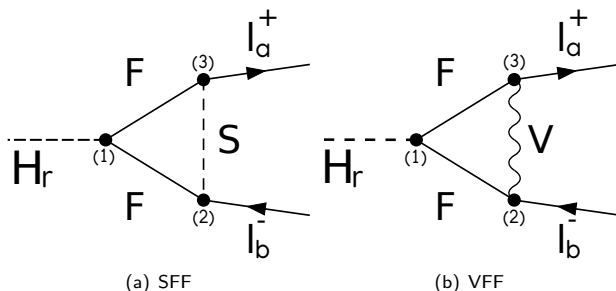


Figura 1: Diagramas genéricos con dos fermiones en el lazo que contribuyen a  $H_r \rightarrow I_a I_b$ .

## Diagramas con un fermión en el lazo

Además, tenemos 8 diagramas genéricos que contienen un solo fermión en el lazo

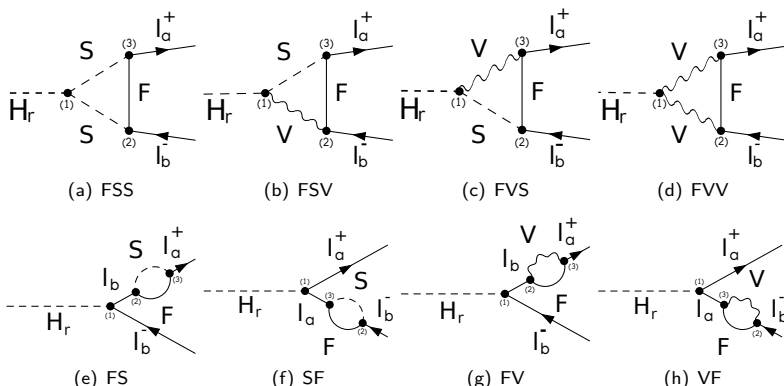
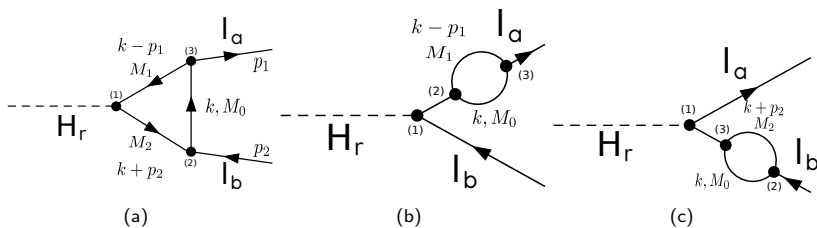


Figura 2: Diagramas genéricos con un fermión en el lazo que contribuyen a  $H_r \rightarrow I_a I_b$

# Convenciones para el cálculo a un lazo



*Figura 3: Convenciones para momentos, etiquetas de los vértices y partículas en diagramas a un lazo para  $H_r \rightarrow l_a l_b$ . En cada diagrama usamos líneas sólidas, en este caso, para representar todos las partículas posibles en el lazo. Los vértices son etiquetados con números dentro de paréntesis ( $i$ ),  $i = 1, 2, 3$ . Finalmente, las masas para las partículas  $P_i$  en el lazo están denotadas por  $M_i$ .*

# Integrales escalares

Usando las convenciones de la Figura 3, en cada diagrama usaremos la notación

$$D_0 = k^2 - M_0^2 + i\delta; \quad D_1 = (k - p_1)^2 - M_1^2 + i\delta; \quad D_2 = (k + p_2)^2 - M_2^2 + i\delta \quad (6)$$

Únicamente las siguientes integrales escalares serán necesarias:

$$B_0^{(1)}(M_0, M_1) = N_D \int \frac{d^D k}{D_0 D_1} \quad B_0^{(2)}(M_0, M_2) = N_D \int \frac{d^D k}{D_0 D_2}, \quad (7a)$$

$$B_0^{(12)}(M_1, M_2) = N_D \int \frac{d^D k}{D_1 D_2} \quad C_0(M_0, M_1, M_2) = \frac{1}{i\pi^2} \int \frac{d^4 k}{D_0 D_1 D_2}, \quad (7b)$$

donde  $N_D = (2\pi\mu)^{4-D}/i\pi^2$  y  $D = 4 - 2\epsilon$  es la dimensión de la integral. También se tienen  $C^\mu = C_1 p_1^\mu + C_2 p_2^\mu$ .

$$\text{Div}[B_0^{(i)}] = \text{Div}[B_0^{(12)}] = \Delta_\epsilon, \quad (8a)$$

$$\text{Div}[B_1^{(1)}] = \text{Div}[B_1^{(12)}] = \frac{1}{2}\Delta_\epsilon, \quad \text{Div}[B_1^{(2)}] = \text{Div}[B_2^{(12)}] = -\frac{1}{2}\Delta_\epsilon, \quad (8b)$$

$\Delta_\epsilon = 1/\epsilon + \ln 4\pi - \gamma_E + \ln \mu^2$ , con  $\gamma_E$  la constante de Euler.

# Un fermión en el lazo

En este caso, tenemos las contribuciones del tipo ( $\Omega$ : FSS, FSV, FVS, FVV, FS, SF, FV, VF). Encontramos que la estructura de los factores de forma para estas contribuciones puede ser expresada como sigue:

$$\begin{aligned} A_R^r(\Omega) = & m_{ab}^{-2} c_r^{I(1)} \left( c_R^{J(2)} c_R^{K(3)} \mathcal{H}_{RR}(\Omega) + c_L^{J(2)} c_L^{K(3)} \mathcal{H}_{LL}(\Omega) \right. \\ & \left. + c_R^{J(2)} c_L^{K(3)} \mathcal{H}_{RL}(\Omega) + c_L^{J(2)} c_R^{K(3)} \mathcal{H}_{LR}(\Omega) \right), \end{aligned} \quad (9a)$$

$$\begin{aligned} A_L^r(\Omega) = & m_{ab}^{-2} c_r^{I(1)} \left( c_L^{J(2)} c_L^{K(3)} \mathcal{H}_{RR}(\Omega) + c_R^{J(2)} c_R^{K(3)} \mathcal{H}_{LL}(\Omega) \right. \\ & \left. + c_L^{J(2)} c_R^{K(3)} \mathcal{H}_{RL}(\Omega) + c_R^{J(2)} c_L^{K(3)} \mathcal{H}_{LR}(\Omega) \right), \end{aligned} \quad (9b)$$

donde  $m_{ab}^2 = 1$  para contribuciones tipo triángulo y  $m_{ab}^2 = m_a^2 - m_b^2$  para contribuciones tipo burbuja,  $m_a$  y  $m_b$  son las masas de los leptones cargados en el estado final.

# Funciones $\mathcal{H}$

Funciones  $\mathcal{H}_{PQ}$  ( $P, Q = R, L$ ) para cada tipo de diagrama.

$\Omega(\text{Figure})$	$\mathcal{H}_{RR}$	$\mathcal{H}_{RL}$	$\mathcal{H}_{LR}$	$\mathcal{H}_{LL}$
FSS (2(a))	$M_0 C_0$	$-m_b C_2$	$m_a C_1$	0
FSV (2(b))	$-\cancel{X} - 2m_{ar}^2 C_2 + m_a^2 C_1$	$-m_a M_0 (C_1 - 2C_0)$	$-m_b M_0 (C_0 - C_2)$	$-m_a m_b (C_1 - 2C_2)$
FVS (2(c))	$m_a M_0 (C_0 + C_1)$	$\cancel{X} - 2m_{br}^2 C_1 + m_b^2 C_2$	$-m_a m_b (C_2 - 2C_1)$	$-m_b M_0 (2C_0 + C_2)$
FVV(2(d))	$-(D - 2)m_a C_1$	$M_0 D C_0$	0	$(D - 2)m_b C_2$
FS (2(e))	$m_b M_0 B_0^{(1)}$	$m_a m_b B_1^{(1)}$	$m_a^2 B_1^{(1)}$	$m_a M_0 B_0^{(1)}$
SF (2(f))	$-m_a M_0 B_0^{(2)}$	$m_b^2 B_1^{(2)}$	$m_a m_b B_1^{(2)}$	$-m_b M_0 B_0^{(2)}$
FV (2(g))	$(D - 2)m_a m_b B_1^{(1)}$	$-D m_b M_0 B_0^{(1)}$	$-D m_a M_0 B_0^{(1)}$	$(D - 2)m_a^2 B_1^{(1)}$
VF (2(h))	$(D - 2)m_b^2 B_1^{(2)}$	$D m_a M_0 B_0^{(2)}$	$D m_b M_0 B_0^{(2)}$	$(D - 2)m_a m_b B_1^{(2)}$

**Cuadro 1:** Expresiones analíticas para las funciones  $\mathcal{H}_{PQ}$  ( $P, Q = R, L$ ) para cualquier diagrama con un único fermión en el lazo, recordando la convención  $D = 4 - 2\epsilon$  y  $\epsilon \rightarrow 0$ .

donde

$$\cancel{X} = B_0^{(12)} + M_0^2 C_0 + m_j^2 C_2 - m_i^2 C_1. \quad (10)$$

# Dos fermiones en el lazo.

**Contribución SFF:** En este caso obtenemos la siguiente estructura para los factores de forma

$$\begin{aligned} A_R^r(SFF) = & c_{rL}^{F^0(1)} c_R^{S^\pm(2)} c_R^{S^\pm(3)} \mathcal{H}_1 + c_{rR}^{F^0(1)} c_L^{S^\pm(2)} c_L^{S^\pm(3)} \mathcal{H}_2 + c_{rL}^{F^0(1)} c_L^{S^\pm(2)} c_R^{S^\pm(3)} \mathcal{H}_3 \\ & + c_{rR}^{F^0(1)} c_R^{S^\pm(2)} c_L^{S^\pm(3)} \mathcal{H}_4 + c_{rR}^{F^0(1)} c_L^{S^\pm(2)} c_R^{S^\pm(3)} \mathcal{H}_5 + c_{rL}^{F^0(1)} c_R^{S^\pm(2)} c_L^{S^\pm(3)} \mathcal{H}_6, \\ & + c_{rR}^{F^0(1)} c_R^{S^\pm(2)} c_R^{S^\pm(3)} \mathcal{H}_7, \end{aligned} \quad (11a)$$

$$\begin{aligned} A_L^r(SFF) = & c_{rR}^{F^0(1)} c_L^{S^\pm(2)} c_L^{S^\pm(3)} \mathcal{H}_1 + c_{rL}^{F^0(1)} c_R^{S^\pm(2)} c_R^{S^\pm(3)} \mathcal{H}_2 + c_{rR}^{F^0(1)} c_R^{S^\pm(2)} c_L^{S^\pm(3)} \mathcal{H}_3 \\ & + c_{rL}^{F^0(1)} c_L^{S^\pm(2)} c_R^{S^\pm(3)} \mathcal{H}_4 + c_{rL}^{F^0(1)} c_R^{S^\pm(2)} c_L^{S^\pm(3)} \mathcal{H}_5 + c_{rR}^{F^0(1)} c_L^{S^\pm(2)} c_R^{S^\pm(3)} \mathcal{H}_6 \\ & + c_{rL}^{F^0(1)} c_L^{S^\pm(2)} c_L^{S^\pm(3)} \mathcal{H}_7, \end{aligned} \quad (11b)$$

donde las funciones  $\mathcal{H}_k$  ( $k = 1, \dots, 7$ ) están dadas por:

$$\begin{aligned} \mathcal{H}_1 &= X, & \mathcal{H}_2 &= m_a m_b (C_0 + C_2 - C_1), \\ \mathcal{H}_3 &= m_b M_2 C_2, & \mathcal{H}_4 &= m_a M_2 (C_0 - C_1), \\ \mathcal{H}_5 &= m_b M_1 (C_0 + C_2), & \mathcal{H}_6 &= -m_a M_1 C_1, \\ \mathcal{H}_7 &= M_1 M_2 C_0. \end{aligned} \quad (12)$$

# OneLoopLFVHD

El código realizado para la evaluación tanto simbólica como numérica de los decaimientos del Higgs con LFV puede ser consultado en el repositorio de github <https://github.com/moiseszeleny/OneLoopLFVHD>

[moiseszeleny / OneLoopLFVHD](https://github.com/moiseszeleny/OneLoopLFVHD) Public

[Watch 0](#)

[Code](#) [Issues](#) [Pull requests](#) [Actions](#) [Projects](#) [Wiki](#) [Security](#) [Insights](#) [Settings](#)

[master](#) [1 branch](#) [0 tags](#) [Go to file](#) [Add file](#) [Code](#)

moiseszeleny	2HDM diagrams completed but with problems in divergencies	1c87549 on 31 Aug 2021	21 commits
Examples	2HDM diagrams completed but with problems in divergencies	4 months ago	
OneLoopLFVHD.egg-info	upgrade with 2HDM book	5 months ago	
OneLoopLFVHD	upgrade with 2HDM book	5 months ago	
__pycache__	upgrade with 2HDM book	5 months ago	
build/lib/OneLoopLFVHD	upgrade with 2HDM book	5 months ago	
dist	upgrade with 2HDM book	5 months ago	
.gitignore	Initial commit	2 years ago	
LICENSE	First complete version of OneLoopLFVHD	17 months ago	
README.md	Binder link	15 months ago	
requirements.txt	requeriments actualizado	8 months ago	
setup.py	First complete version of OneLoopLFVHD	17 months ago	

[About](#)  
General structures of lepton flavor violation Higgs decays.

[Readme](#) [GPL-3.0 License](#)  
[1 star](#) [0 watching](#)  
[0 forks](#)

[Releases](#)  
No releases published  
[Create a new release](#)

[Packages](#)  
No packages published  
[Publish your first package](#)

[Languages](#)  
Python 100.0%

[Launch Binder](#)

We code the possibles one loop feynman diagrams to Lepton Flavour Violation Higgs decays using a generic approach.

# Pasos a seguir en cada modelo

- ① Hallar las constantes de acoplamiento.
- ② Diagramas de Feynman a un lazo.
- ③ Obtener factores de forma.
- ④ Sumar sobre las generaciones de neutrinos, mecanismo de GIM.
- ⑤ Observar que las divergencias se cancelan correctamente.
- ⑥ Obtener el  $\mathcal{BR}(H_r \rightarrow l_a l_b)$ .
- ⑦ Espacio de parámetros

# Modelo $\nu$ SM

# Modelo $\nu$ SM

Se agregan tres neutrinos derechos de Majorana  $N_{R,I}$ , singletes del grupo de norma del SM y se agrega el término de Majorana para neutrinos derechos  $N_{R,I}$ ,

$$-\Delta\mathcal{L} = Y_{\nu,al}\overline{\psi_{L,a}}\widetilde{\Phi}N_{R,I} + \frac{1}{2}(\overline{N_{R,I}}^c)M_{N,IJ}N_{R,J} + \text{H. c.}, \quad (13)$$

donde  $a = 1, 2, 3$ ;  $I, J = 1, 2, 3$ ;  $\psi_{L,a} = (\nu_{L,a}, l_{L,a})^\top$  son dobletes de  $SU(2)_L$  y  $(N_{R,I})^c = \mathcal{C}\overline{N_{R,I}}^\top$ . El doblete de Higgs está dado por  $\Phi = (G_W^+, (h + iG_Z + v)/\sqrt{2})^\top$  con valor de expectación en el vacío  $\langle\Phi\rangle = v/\sqrt{2}$ ,  $v = 246$  GeV y  $\widetilde{\Phi} = i\sigma_2\Phi^*$ . El término de masa es:

$$-\mathcal{L}_{\text{mass}}^\nu \equiv \frac{1}{2}\overline{\nu_L'}M^\nu(\nu_L')^c + \text{h.c.} = \frac{1}{2}\overline{\nu_L'}\begin{pmatrix} 0 & M_D \\ M_D^T & M_N \end{pmatrix}(\nu_L')^c + \text{h.c.} \quad (14)$$

El mecanismo seesaw implica que  $|M_D| \ll |M_N|$ , de donde,

$$\hat{m}_\nu \approx M_D M_N^{-1} M_D^T. \quad (15)$$

Las bases de sabor y física están conectados por la matriz de mezcla

$$\nu_L' = \mathbf{U}^{\nu*} n_L, \quad (\nu_L')^c = \mathbf{U}^\nu (n_L)^c, \quad (16)$$

donde  $n_L \equiv (n_{L,1}, n_{L,2}, \dots, n_{L,6})^\top$ .

# Modelo $\nu$ SM: Acoplamientos

Se tiene que  $C_{ij} = \sum_{c=1}^3 U_{ci}^\nu U_{cj}^{\nu*}$ .

Vértice	Acoplamiento	Vértice	Acoplamiento
$hW^{+\mu} W^{-\nu}$	$igm_W g_{\mu\nu}$	$hG_W^+ G_W^-$	$\frac{-igm_h^2}{2m_W}$
$hG_W^+ W^{-\mu}$	$\frac{ig}{2}(p_+ - p_0)_\mu$	$hG_W^- W^{+\mu}$	$\frac{ig}{2}(p_0 - p_-)_\mu$
$\bar{n}_i e_a W_\mu^+$	$\frac{ig}{\sqrt{2}} U_{ai}^\nu \gamma^\mu P_L$	$\bar{e}_a n_j W_\mu^-$	$\frac{ig}{\sqrt{2}} U_{aj}^{\nu*} \gamma^\mu P_L$
$\bar{n}_i e_a G_W^+$	$-\frac{ig}{\sqrt{2}m_W} U_{ai}^\nu (m_{e_a} P_R - m_{n,i} P_L)$	$\bar{e}_a n_j G_W^-$	$-\frac{ig}{\sqrt{2}m_W} U_{aj}^{\nu*} (m_{e_a} P_L - m_{n,j} P_R)$
$h\bar{n}_i n_j$	$\frac{-ig}{2m_W} [C_{ij} (P_L m_{n_i} + P_R m_{n_j}) + C_{ij}^* (P_L m_{n_j} + P_R m_{n_i})]$	$h\bar{e}_a e_a$	$\frac{-igm_{e_a}}{2m_W}$

*Cuadro 2:* Acoplamientos involucrados en los decaimientos del Higgs con violación del sabor leptónico en el  $\nu$ SM<sup>4</sup>.

---

<sup>4</sup>N.H. Thao et al. Lepton flavor violating higgs boson decays in seesaw models: New discussions. Nuclear Physics B, 921:159 – 180, 2017.

# Diagramas

	Estructura	Diagrama	$P_0$	$P_1$	$P_2$
1	SFF	1(a)	$G_W$	$\bar{n}_i$	$n_j$
2	VFF	1(b)	$W$	$\bar{n}_i$	$n_j$
3	FSS	2(a)	$n_i$	$G_W$	$G_W$
4	FSV	2(b)	$n_i$	$G_W$	$W$
5	FVS	2(c)	$n_i$	$W$	$G_W$
6	FVV	2(d)	$n_i$	$W$	$W$
7	FV	2(g)	$n_i$	$W$	—
8	FS	2(e)	$n_i$	$G_W$	—
9	VF	2(h)	$n_i$	—	$W$
10	SF	2(f)	$n_i$	—	$G_W$

Cuadro 3: Resumen de los diagramas que contribuyen a  $h \rightarrow l_a^+ l_b^-$  en el modelo  $\nu$ SM.

# Factores de forma I

## Diagrama 1

Este diagrama corresponde a la estructura SFF, y sus factores de forma están dados por:

$$\begin{aligned}
 A_L^{(1)}(G\bar{n}_i n_j) &= m_a \sum_{i,j=1}^{K+3} \left[ \left( \left( B_0^{(12)} + m_W^2 C_0 \right) m_{nj}^2 - \left( m_a^2 m_{nj}^2 + m_b^2 m_{ni}^2 - 2m_{ni}^2 m_{nj}^2 \right) C_1 \right) C_{ij} \right. \\
 &\quad \left. + \left( B_0^{(12)} + m_W^2 C_0 - \left( m_a^2 + m_b^2 - m_{ni}^2 - m_{nj}^2 \right) C_1 \right) C^*_{ij} m_{ni} m_{nj} \right] \Delta_{ij}^{ab}, \\
 A_R^{(1)}(G\bar{n}_i n_j) &= m_b \sum_{i,j=1}^{K+3} \left[ \left( \left( B_0^{(12)} + m_W^2 C_0 \right) m_{ni}^2 + \left( m_a^2 m_{nj}^2 + m_b^2 m_{ni}^2 - 2m_{ni}^2 m_{nj}^2 \right) C_2 \right) C_{ij} \right. \\
 &\quad \left. + \left( B_0^{(12)} + m_W^2 C_0 + \left( m_a^2 + m_b^2 - m_{ni}^2 - m_{nj}^2 \right) C_2 \right) C^*_{ij} m_{ni} m_{nj} \right] \Delta_{ij}^{ab}.
 \end{aligned}$$

Definimos

$$\Delta_{ij}^{ab} = \frac{g^3}{64\pi^2 m_W^3} U_{bj}^\nu U_{ai}^{\nu*}. \quad (17)$$

# Factores de forma II

## Diagrama 8

$$A_L^{(8)} = \frac{m_a m_b^2}{m_a^2 - m_b^2} \sum_{i=1}^{K+3} \left( - \left( m_a^2 + m_{ni}^2 \right) B_1^{(1)} + 2 B_0^{(1)} m_{ni}^2 \right) \Delta_{ii}^{ab},$$

$$A_R^{(8)} = \frac{m_b}{m_a^2 - m_b^2} \sum_{i=1}^{K+3} \left( \left( m_a^2 + m_b^2 \right) B_0^{(1)} m_{ni}^2 - \left( m_b^2 + m_{ni}^2 \right) B_1^{(1)} m_a^2 \right) \Delta_{ii}^{ab}.$$

## Diagrama 10

$$A_L^{(10)} = - \frac{m_a}{m_a^2 - m_b^2} \sum_{i=1}^{K+3} \left( \left( m_a^2 + m_b^2 \right) B_0^{(2)} m_{ni}^2 + \left( m_a^2 + m_{ni}^2 \right) B_1^{(2)} m_b^2 \right) \Delta_{ii}^{ab},$$

$$A_R^{(10)} = - \frac{m_a^2 m_b}{m_a^2 - m_b^2} \sum_{i=1}^{K+3} \left( \left( m_b^2 + m_{ni}^2 \right) B_1^{(2)} + 2 B_0^{(2)} m_{ni}^2 \right) \Delta_{ii}^{ab}.$$

**Las Divergencias se cancelan correctamente al sumar los diagramas 4 con 5, 7 con 9 y 1 con 8 y 10.<sup>5</sup>**

---

<sup>5</sup>N.H. Thao et al. Lepton flavor violating higgs boson decays in seesaw models: New discussions. Nuclear Physics B, 921:159 – 180, 2017.

# Análisis numérico

Siguiendo la parametrización Casas-Ibarra<sup>6</sup>:

$$M_D^T = iU_N^* \left( \hat{M}_N \right)^{1/2} \xi (\hat{m}_\nu)^{1/2} U_{\text{PMNS}}^\dagger \quad (18)$$

donde  $\hat{m}_\nu = \text{diag}(m_{n_1}, m_{n_2}, m_{n_3})$ ,  $\hat{M}_N = \text{diag}(m_{n_4}, m_{n_5}, m_{n_6})$  y  $U_N$  es una matriz unitaria que diagonaliza a  $M_N$ . Por simplicidad, consideramos  $U_N = \xi = I$  con  $I$  la matriz identidad, como consecuencia  $M_N = \hat{M}_N$ .

Consideramos dos caso,

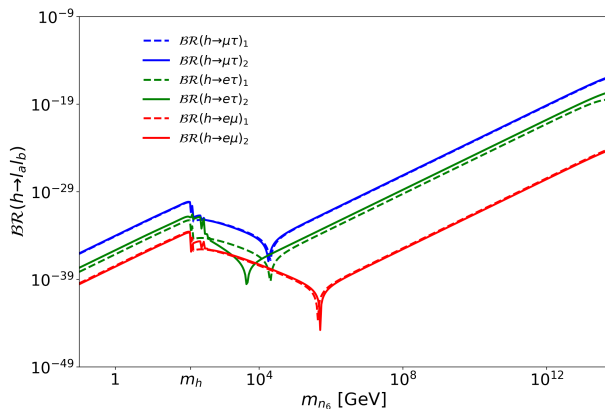
- ① Degenerado:  $m_{n_4} = m_{n_5} = m_{n_6}$
- ② No degenerado:  $m_{n_4} = m_{n_6}/3$  y  $m_{n_5} = m_{n_6}/2$  (Thao et al.)

---

<sup>6</sup>J.A. Casas and A. Ibarra. Oscillating neutrinos and  $\mu \rightarrow e\gamma$ . Nuclear Physics B, 618(1):171 – 204, 2001.

Razones de ramificación  $\mathcal{BR}(h \rightarrow l_a l_b)$ 

$$\mathcal{BR}(h \rightarrow l_a l_b) \propto m_{n_6}^2 \text{ con } m_{n_6} > 10^5.$$



# Conclusiones

- Se ha calculado de forma general los LFVHD a un lazo.
- Se creó la librería OneLoopLFVHD, que permite la manipulación simbólica y numérica (precisión arbitraria) de los factores de forma.
- Estos resultados pueden ser aplicados a diferentes modelos, con masas de neutrinos y LFVHD inducidos a un lazo. También pueden ser utilizados para otros escalares.

En el modelo  $\nu$ SM:

- $m_{n_6} < 10^4$  GeV dominan los diagramas de un fermión en el lazo.
- $m_{n_6} > 10^4$  GeV dominan los diagramas con dos fermiones en el lazo,  
 $\mathcal{BR}(h \rightarrow \mu\tau) \propto m_n^2$ , debido a CI.
- Los  $\mathcal{BR}(h \rightarrow l_a l_b)$  máximos son del orden  $\mathcal{O}(10^{-12})$  para masas grandes de  $m_{n_6}$ .

# Perspectivas a futuro

- Aplicación de los resultados generales de los factores de forma a otros modelos.
- Estudio de la señal  $Z \rightarrow \ell_a \ell_b$ .
- Estudio de la sección transversal de producción de  $pp \rightarrow h \rightarrow \mu\tau$ . Por medio de la aproximación *narrow width*, y tomando el canal de producción del Higgs dominante, fusión de gluones, la sección transversal de producción está dada por

$$\sigma(pp \rightarrow \mu\tau) = \sigma(gg \rightarrow h)\mathcal{BR}(h \rightarrow \mu\tau)$$

# Implicaciones de la parametrización Casas-Ibarra

En el caso degenerado,

$$\mathbf{M}_D = i\sqrt{m_{n_6}} \mathbf{U}_{\text{PMNS}}^* (\hat{\mathbf{m}}_\nu)^{1/2} \Rightarrow \frac{\nu}{\sqrt{m_{n_6}}} \mathbf{Y}_\nu = \mathbf{U}_{\text{PMNS}}^* (\hat{\mathbf{m}}_\nu)^{1/2}$$

$$\frac{\nu^2}{m_{n_6}} (\mathbf{Y}_\nu \mathbf{Y}_\nu^\dagger)_{ab} = (\mathbf{U}_{\text{PMNS}}^* \hat{\mathbf{m}}_\nu \mathbf{U}_{\text{PMNS}}^\top)_{ab} \Rightarrow (\mathbf{Y}_\nu \mathbf{Y}_\nu^\dagger)_{ab} \propto m_{n_6}$$

Una aproximación para  $\mathcal{BR}(l_a \rightarrow l_b \gamma)$  fue encontrada en<sup>7</sup>, la cual es válida en el régimen de neutrinos muy pesados, a saber,  $\mathcal{BR}(l_a \rightarrow l_b \gamma)_{\text{approx}} \propto |\frac{\nu^2}{2m_{n_6}^2} (\mathbf{Y}_\nu \mathbf{Y}_\nu^\dagger)_{ab}|^2$ , entonces concluimos que  $\mathcal{BR}(l_a \rightarrow l_b \gamma)_{\text{approx}} \propto m_{n_6}^{-2}$ .

Además, en el caso degenerado,

$$\begin{aligned}
 (\mathbf{M}_D)_{ab} &= (\mathbf{U}^{\nu*} \hat{\mathbf{M}}^\nu \mathbf{U}^{\nu\dagger})_{a(b+3)} \\
 &= \sum_{k=1}^6 U_{ak}^{\nu*} m_{n_k} U_{(b+3)k}^{\nu*} \\
 &\approx m_{n_6} \sum_{k=4}^6 U_{ak}^{\nu*} U_{(b+3)k}^{\nu*}
 \end{aligned} \tag{19}$$

---

<sup>7</sup>E. Arganda et al. Phys. Rev. D 91, 015001 (2015)

# Implicaciones de la parametrización Casas-Ibarra

Por otro lado,

$$\sum_{k=4}^6 U_{ak}^{\nu*} U_{(b+3)k}^{\nu*} \approx \frac{i}{\sqrt{m_{n_6}}} (\mathbf{U}_{\text{PMNS}}^* (\hat{\mathbf{m}}_\nu)^{1/2})_{ab} \quad (20)$$

Pilaftsis et. al.<sup>8</sup> obtuvieron una aproximación para masas grandes de los neutrinos pesados dada por  $\mathcal{BR}(h \rightarrow l_a l_b) \propto m_n^4 |F_N|^2$  y  $F_N = U_{bj}^\nu C_{ij} U_{ai}^{\nu*}$ . En nuestro caso, de la ecuación (20) obtenemos  $F_N \propto m_n^{-1}$ , entonces  $\mathcal{BR}(h \rightarrow l_a l_b) \propto m_{n_6}^2$ .

---

<sup>8</sup>A. Pilaftsis, Physics Letters B 285, 68 (1992).